

## چکیده

این تحقیق به منظور بررسی علل سیل‌گیری روستای فرطان از توابع شهرستان اسفراین و معرفی کارایی ژئومورفولوژی در ارائه روش‌های سازه‌ای مدیریت سیلاب، انجام شد. با توجه به وضع موجود، در ارائه راهکارهای کنترل سیل عمده‌اً از روش‌های سازه‌ای به ویژه طراحی کانال‌ها، پل‌ها و مخزن تأخیری استفاده شد. به منظور طراحی این سازه‌ها ابتدا با استفاده از رابطه دیکن<sup>۱</sup> و با توجه به آمار ایستگاه هیدرومتری رودخانه بیدواز، دبی حداکثر لحظه‌ای سیلاب سالانه با دوره‌های بازگشت مختلف به دست آمد. سپس با استفاده از رابطه مانینگ<sup>۲</sup> ابعاد مقاطع سازه‌ها جهت عبور سیلاب با دوره بازگشت ۵ و ۵۰۰ ساله تعیین گردید. و در نهایت از حاصل ضرب سرعت متوسط جریان با مساحت مقاطع، دبی آنها در این سیلابها تعیین گردید. نتایج نشان می‌دهد که غیر از شرایط طبیعی چون رُزم بارش، نفوذناپذیری سازندها، تراکم زهکشی، فقر پوشش گیاهی و شب دامنه‌ها، عوامل انسانی نظیر نحوه استقرار و توسعه روستا روی واحد مخروط افقی، تغییر مسیر و تلفیق آبراهه‌ها، قوس‌های غیرضروری در کانال‌ها و عدم توجه به بیشترین بارندگی محتمل<sup>۳</sup> در احداث سازه‌ها، مسبب تشدید سیل‌گیری روستا بوده‌اند. نتایج نشان می‌دهد که هرگونه تغییری در ابعاد، انواع و شکل هندسی شبکه زهکشی حوضه‌های آبخیز باید با لحاظ نمودن مبانی نظری داشت ژئومورفولوژی انجام گیرد و این گرایش از جغرافیای طبیعی از توان بالایی در پیشنهاد روش‌های سازه‌ای مدیریت سیلاب برخوردار است.

**واژه‌های کلیدی:** روستای فرطان، کنترل سیلاب، روش‌های سازه‌ای، ژئومورفولوژی، مناطق روستایی.

## مقدمه

سیل همواره به عنوان یکی از مهمترین مخاطرات محیطی مطرح بوده است که خواسته و ناخواسته زندگی انسانها را در معرض خطر قرار داده است. (اسمیت، ترجمه ابراهیم مقیمی، ۱۳۸۲)

با توجه به این که بسیاری از روستاهای مناطق خشک و نیمه خشک کشورمان در کنار رودخانه‌ها و مسیل‌ها واقع شده‌اند، خطر وقوع سیل در آنها دائمی است. (مقیمی، ۱۳۸۵) علاوه بر ویژگی‌های طبیعی، امروزه به دلیل دخالت‌های انسانی، ضریب سیل خیزی حوضه‌ها تغییر یافته و موجب کاهش دوره بازگشت آنها شده است. فعالیت بشر به شکل ساخت و ساز در بستر سیلابی آبراهه‌ها و تجاوز به حریم آنها، موجب کاهش نفوذناپذیری و ظرفیت طبیعی آبراهه شده است. به این ترتیب محدوده‌ای از سیلاب‌داشت که زمان طغیان زیرآب می‌گردد. مجموعه شرایط و عوامل نامبرده سبب بزرگی طغیان و افزایش انتقال رسوباتی می‌شود که با رسویگذاری آنها، ظرفیت بستر آبراهه، مسیل‌ها و سازه‌های هیدرولیکی نظیر پل‌ها و کانال‌ها کاهش می‌یابد. آنچه که به هنگام وقوع سیلاب منجر به تخریب و تلفات جانی می‌شود، دینامیک آبهای جاری و فرآیندهای فرسایشی حاصل از آن می‌باشد. اصولاً جریان آب به صورت رشته‌های باریک یا ضخیمی شکل می‌گیرد که اصطلاحاً «نخ آب» نامیده می‌شوند. این نخ آبها بر حسب «سرعت جریان» ممکن است به صورت «صفحه‌ای» یا «منقلب» جابجا شوند. در حالت صفحه‌ای، نخ آبها کم و بیش سریع به صورت موازی حرکت می‌کنند و به صورت لغزش صفحات آب بر روی یکدیگر ظاهر می‌شوند. (محمدی، ۱۳۷۴)

در اثنای طغیان‌ها، نخ آبها، مسیرهای پیچیده گردابی با محور عمودی را دنبال و با جریان عمومی آب جابجا می‌شوند. چون در اثر اختلاف نیرو بی نظمی‌هایی در حرکت نخ آبها به وجود می‌آید، لذا گروهی از آنها غالباً در حالت سکون قرار می‌گیرند. این نخ آبها در مجاور کف بستر به جریانی افقی تبدیل می‌شوند (صداقت و معماریان، ۱۳۸۱) (نگاره ۱).

فرآیندهای مجازی رود آبرفتی، در تحلیلی نهایی به کاوش، حمل و رسویگذاری محدود می‌شوند که تقریباً تمام فعالیت‌های فرسایشی آبهای جاری، حاصل کیفیت متلاطم آنها است. (کوک و دورکمپ، ترجمه شاپورگور درزی نژاد، ۱۳۷۷)

هنگام جریان رود، انرژی پتانسیل<sup>۴</sup> (معادله ۱) به انرژی جنبشی تبدیل می‌شود که رود را قادر می‌سازد تا سایش و سایر اعمالش را انجام دهد. (معادله ۲)

# روش‌های سازه‌ای مدیریت سیلاب با توجه به قابلیت‌های ژئومورفولوژیک در مناطق روستایی

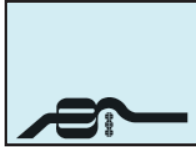
مطالعه موردی:

روستای فرطان

از توابع شهرستان اسفراین

دکتر تیمور جعفری

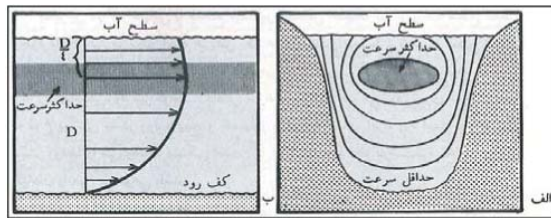
مدارس جغرافیا در مرکز تربیت معلم امام جعفر صادق(ع)  
بنجورد



می شود که در فرمول مانینگ جهت تعیین میانگین سرعت رود ( $V$ ) در یک مقطع خاص از آبراهه به کار می رود:

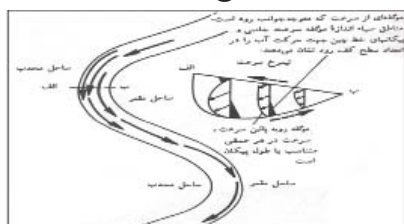
$$(\bar{V}) = K \frac{R^{2/3} \times S^{1/2}}{n} \quad (\text{معادله ۷})$$

سرعت جریان در مقطع یک رودخانه متغیر است. اندازه گیری ها نشان می دهد که در یک رودخانه مستقیم بیشترین سرعت جریان در مرکز و نزدیک سطح آب، تا حدود یک چهارم عمق آن است (نگاره ۳).

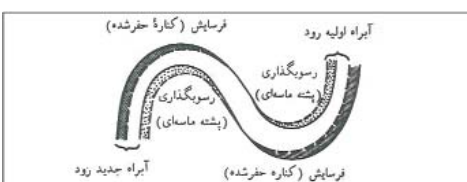


نگاره (۳): تغییرات سرعت رود نسبت به عمق. الف) مقطع عمود بر جریان رود. منحنی ها نقاط هم سرعت را به هم وصل می کنند. ب) مقطع موازی جریان رود. سرعت بیشینه تقریباً در عمق یک چهارم، در زیر سطح آب قرار دارد. طول پیکان ها متناسب با سرعت است.

نگاره سطح مقطع آبراه رود نیز بر سرعت آب مؤثر است. وقتی مسیر رودخانه یا کanal دارای انحصار باشد، بیشترین سرعت از وسط به طرف دیواره مقعر آن منتقل می شود (نگاره ۴) در دیواره مقعر رودخانه فرسایش از نوع عمل حفر و کاوش و در دیواره محدب آن از نوع تراکم و رسوبگذاری خواهد بود که اگر این آبراه یک کanal باشد، در چنین شرایطی از عملکرد اصلی خود که هدایت و انتقال رواناب است، خارج خواهد شد (نگاره ۵)



نگاره (۴): تغییرات اندازه و جهت سرعت رود در امتداد یک پیچان رود.



نگاره (۵) تغییر در مکانیزم فرسایشی کناره ها و بستر رودخانه بر اثر تفاوت در خط حداکثر سرعت آب

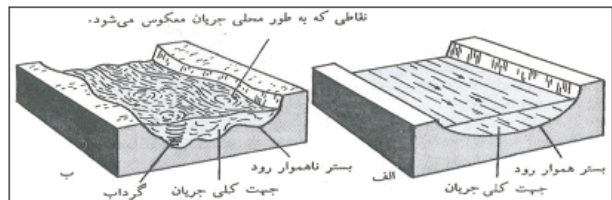
روستای فرطان از جمله سکونتگاه هایی است که، طی دهه اخیر دو بار با خطر طبیعی سیل مواجه شده است. در آخرین سیلاب که در مورخه ۱۳۸۶/۰۱/۱۶ رخ داد، تعداد ۴ نفر کشته شدند و خسارات مالی فراوانی به ساکنان آن وارد شد. (ستاد حوزه های غیرمتربقه استان خراسان شمالی، ۱۳۸۶)

هدف از انجام این تحقیق شناسایی مهمترین عوامل تشید کننده سیل گیری سکونتگاه و معرفی قابلیت دانش ژئومورفوژئی در ارائه

(معادله ۱)  $E_p = mgh$   
که در آن؛  $E_p$  = انرژی پتانسیل،  $m$  = جرم آب،  $g$  = شتاب جاذبه ای و  $h$  = ارتفاع از سطح اساس است.

$$E_k = \frac{1}{2} mv^2 \quad (\text{معادله ۲})$$

که در آن؛  $E_k$  = انرژی جنبشی،  $m$  = جرم آب و  $v$  = سرعت جریان می باشد.



نگاره ۱: انواع جریان رود.

#### الف) جریان صفحه ای (b) جریان منقلب (متلاطم)

نیروی آبی که مواد را از بستر یا کناره رود جدا می سازد، به نیروهای تولید شده و کارآیی عمومی آنها در غلبه بر نیروهای مقاومت برشی،  $t_0$  وابسته است. نیروی مولد حرکت ( $t$ ) فشار برشی  $t_0$  نامیده می شود. فشار برشی ( $t_0$ ) تابع وزن مخصوص مایع (g) (برای آب صاف ۱۰۰۰ کیلو گرم در متر مکعب) و میانگین شعاع هیدرولیک (R) و شیب (S) مجرما می باشد.

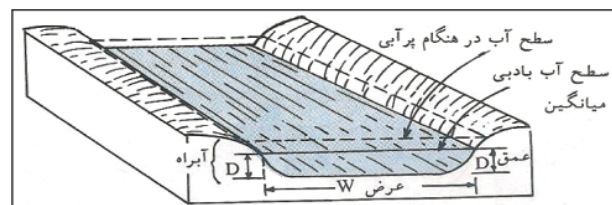
$$t_0 = gRS \quad (\text{معادله ۳})$$

شعاع هیدرولیک جریان (R)، از حاصل بخش مساحت مقطع یا مساحت برش عرضی (A) بر محیط مرطوب شده (WP) آبراه رود، به دست می آید:

$$R = \frac{A}{WP} \quad (\text{معادله ۴})$$

در مقاطع ذوزنقه ای مساحت برش عرضی (A)، بدین صورت به دست می آید. (نگاره ۲)

$$\frac{1}{2} \text{ قاعده بزرگ} \cdot \bar{A} \text{ ارتفاع} = \text{مساحت برش عرضی} \quad (\text{معادله ۵})$$



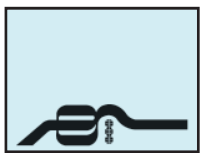
نگاره ۲: محیط تر شده آبراه رود. با بالا آمدن سطح آب رود هنگام پرآبی به عمق و عرض آن افزوده می شود.

در این مقاطع محیط مرطوب شده (WP)،<sup>۸</sup> نیز به این صورت محاسبه می گردد (صادقت و معماریان، ۱۳۸۱):

$$WP = D + W + D \quad (\text{معادله ۶})$$

وقتی شیب مجرما (S) کم، و محیط مرطوب در مقایسه با مساحت برش عرضی مجرما بزرگ باشد، حداقل فرسایش بستر پدید می آید.

عوامل متعددی در ایجاد تلاطم مؤثرند. از جمله ناهمواری (زبری) بستر رود. این ناهمواری معمولاً با «ضریب ناهمواری مانینگ» (n) نشان داده

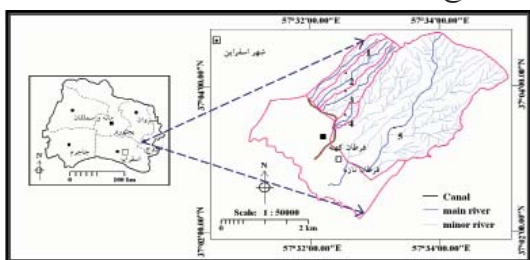


خراسان شمالی، در قالب مطالعات تعیین حریم و بسته رودخانه بیدواز اسفراین و ساماندهی رودخانه بیدواز در محدوده شهر اسفراین است. با این وجود، مطالعه جامعی در ارتباط با علل سیلگیری این روستا و کارایی ژئومورفولوژی در ارائه روش‌ها به ویژه روش‌های سازه‌ای کنترل سیلاب مبتنی بر روش‌های تجربی محاسبه‌ی دبی جریان، در حوضه‌های فاقد ایستگاه هیدرومتری و از جمله زیرحوضه‌های مطالعاتی، ضروری به نظر می‌رسد.

روش‌های سازه‌ای جهت کنترل سیلاب به ویژه در مناطق روسایی است. تأثیر فعالیت‌های انسانی در برهم زدن تعادل محیط طبیعی و تشديد سیلگیری روستا و کارایی ژئومورفولوژی در ارائه روش‌ها به ویژه روش‌های سازه‌ای کنترل سیلاب، فرضیه‌های این تحقیق را تشکیل داده‌اند. تاکنون مطالعات زیادی در داخل و خارج از کشور در ارتباط با علل سیلگیری و راههای کنترل آن انجام شده است. در سطح جهان می‌توان به تحقیقات انجام گرفته زیر اشاره نمود:

### محدوده مورد مطالعه

در این تحقیق زیرحوضه‌های پنجگانه بالاتر از روسایی فرطان با موقعیت ریاضی<sup>۱</sup> و<sup>۲</sup> ۰۷° تا ۰۴° و<sup>۳</sup> ۳۷° عرض شمالی و<sup>۱</sup> ۳۱° و<sup>۲</sup> ۵۷° تا ۳۵° و<sup>۳</sup> ۵۷° طول شرقی و با مساحتی حدود ۹/۹۷ کیلومترمربع، در جنوب شرقی شهر اسفراین مورد مطالعه قرار گرفته‌اند. بیشترین شبکه خالص آبراهه اصلی مربوط به زیر حوضه<sup>۱</sup> و برابر با ۱۰/۹۱٪، کمترین و بیشترین زمان تمرکز<sup>۲</sup> و با روش کربیچ<sup>۳</sup>، مربوط به زیر حوضه‌های<sup>۴</sup> ۴ و<sup>۵</sup> ۵ به ترتیب برابر ۰/۱۴ و ۰/۴۹ ساعت، بیشترین درجه تراکم شبکه آبراهه‌ها مربوط به زیر حوضه<sup>۲</sup> و برابر با<sup>۲</sup> Km/Km<sup>۲</sup> ۹/۱۲۳ Km/Km<sup>۲</sup> و کمترین نسبت انشعاب<sup>۴</sup> مربوط به زیر حوضه<sup>۱</sup> و برابر با<sup>۱</sup> ۱/۳۳ می‌باشد. براساس منحنی هیپوسومتری بی بعد، بیشترین فرسایش در سطح این زیرحوضه‌ها مربوط به زیر حوضه شماره<sup>۱</sup> می‌باشد.



**نگاره (۶): موقعیت جغرافیایی روسایی فرطان و زیرحوضه‌های بالای آن در شهرستان اسفراین و استان خراسان شمالی.**

### مواد و روش‌ها

از آن جا که هدف اصلی تحقیق، معرفی قابلیت ژئومورفولوژی در ارائه روش‌های سازه‌ای مدیریت سیلاب و بررسی تحلیلی عوامل مؤثر در سیلگیری روسایی فرطان به عنوان مطالعه موردنی بوده، از این رو عوامل موردنی بررسی، روش‌ها، تکنیک‌ها و ابزارهای تحقیق به شرح زیر انتخاب گردیدند: به منظور دستیابی به اطلاعات اولیه و ضروری در ارتباط با علل سیلگیری روسایی نخست با تهیه نقشه‌های تفصیلی روسایی، توپوگرافی، زمین‌شناسی، عکس‌های هوایی قدیم و جدید و تصاویر ماهواره‌ای رنگی کاذب<sup>۵</sup>، به مطالعات میدانی از روسایی و زیرحوضه‌های بالای آن پرداخته شد. در ضمن سیلابدشتها و نقاط سیلگیر، روی عکس‌های هوایی جدید مشخص و محدوده آنها توسط دستگاه سیستم موقعیت یاب جهانی GPS<sup>۶</sup>، برداشت شد.

پس از بررسی میدانی، با استناد به مبانی نظری تحقیق، به مطالعه وضع موجود عوامل مؤثر در قالب عوامل طبیعی و انسانی به شرح زیر پرداخته شد: - زمین‌شناسی: شامل چینه‌شناسی و جنس سازندها، زمین‌شناسی ساختمانی

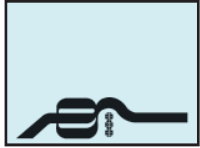
سابقه روش‌های سازه‌ای کنترل سیلاب، به چند هزار سال می‌رسد. برای مثال سد کفراء در مصر در ۴۶۰ سال پیش به منظور کنترل سیلاب در حال احداث بوده که در اثر سیلاب تخریب گردید. در سال ۱۹۸۷ به منظور کنترل سیل در شهر تایپه، خاکریزی همراه ایستگاه پمپاژ سیل موسوم به یو-چنگ<sup>۷</sup> با هفت پمپ بزرگ، هر یک با ظرفیت پمپاژ S<sup>۸</sup> ۲۶.۳ m<sup>۳</sup>/s در شرق آن، به منظور پمپاژ سیلاب‌های بارش‌های موسمی در رودخانه داششویی<sup>۹</sup> به داخل رودخانه‌ی کلونگ<sup>۱۰</sup>، احداث شد. (چانگ و همکاران، ۲۰۰۸)

لوکس (۱۹۸۱)، با روندیابی سیل، تأثیر مخازن را در مهار سیلاب و کاهش خسارت آن در حوضه را از لحاظ اقتصادی مطالعه نموده است. (کارآموز و همکاران، ۱۳۸۵). چانگ و همکاران (۲۰۰۸)، شبکه عصبی فازی را برای سیستم کنترل سیلاب شهر تایپه توسعه دادند. آنها به این نتیجه رسیدند که، شبکه فازی دارای ساختار اساسی ساده با قابلیت یادگیری مؤثر به منظور اتخاذ استراتژی انسانی است و توانایی بالقوه‌ای در بکارگیری سیستم کنترل سیلاب دارد. (چانگ و همکاران، ۲۰۰۸) (رملان و بابان، ۲۰۰۸)، رویکردی تلفیقی براساس سامانه اطلاعات جغرافیایی در ایندیای غربی ترینیداد را توسعه دادند و به این نتایج دست یافتند که، غیر از قطع درختان و از بین بردن پوشش گیاهی، کشاورزی ضعیف و توسعه کنترل نشده در سیلاب‌دشتها از عوامل دیگر بروز سیلاب هستند و تحلیل‌های GIS. توسعه راهکارهای کاهش خطر سیل را که خیلی شبیه به توجیه تغییرات پیش‌بینی شده در حوضه‌های زهکشی هستند، سرعت می‌بخشد. (رملان و بابان، ۲۰۰۸)

غیور (۱۳۷۷)، عوامل پیدایش سیلاب در ایران را به دو گروه طبیعی و انسانی تقسیم می‌کند. از نظر او دخالت و دستکاری در مسیل‌ها و آبگذرها، اشغال مسیل‌ها و حريم نهایی رودخانه‌ها و تغییر بدون ضایعه در پوشش سطحی زمین، جزء مهمترین عوامل بروز سیلاب در کشور مان هستند. (غیور، ۱۳۷۷)

آل شیخ و همکاران (۱۳۸۲)، با استفاده از تلفیق نقشه‌های شبکه، قابلیت اراضی، نفوذپذیری سطحی، واحدهای کواترنر و ضخامت آبرفت در قالب مدل‌های منطق بولین، شاخص همپوشانی نقشه‌ها و منطق فازی در محیط GIS و مقایسه آنها با عرصه‌های کنترلی (عرصه‌های اجرا شده توسط وزارت جهاد کشاورزی)، نقشه مکان‌های مناسب پخش سیلاب در هر مدل را تهیه کردند. نتایج تحقیقات آنها نشان داد که اپراتورهای گامای ۰/۱ و ۰/۲ و Product از مدل منطق فازی، بیشترین همپوشانی را با عرصه‌های کنترلی داشته و بهترین مدل تلفیق برای تعیین مکان‌های مناسب پخش سیلاب در منطقه مورد مطالعه هستند. (آل شیخ و همکاران، ۱۳۸۲)

مطالعات انجام شده در مورد سیلاب‌های منطقه شامل مطالعات انجام گرفته شرکت‌های مهندسین مشاور با کارفرمایی شرکت آب منطقه‌ای

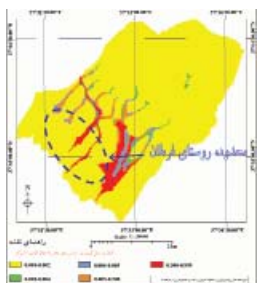


در آنها، از آمار ایستگاه هیدرومتری بیدواز در دوره آماری(۵۴-۵۵) ۵۶-۵۷ در مجاورت آنها، استفاده شد. در ادامه جهت شناخت بیشتر و تصمیم‌گیری در ارتباط با روش‌های کنترل سیلاب به شناسایی روستا از نقطه نظر ویژگی‌های طبیعی و انسانی، نحوه شکل‌گیری، رشد و توسعه روستا، مالکیت اراضی و شبکه‌های ارتباطی در محدوده سازه‌های پیشنهادی و آسیب‌شناسی موقع و مقرب روستا در نظام طبیعی محدوده مطالعاتی، پرداخته شد. با توجه به تفاوت زیرحوضه‌ها از نظر سیل خیزی، جهت مدیریت بهتر و اولویت دهی در کنترل سیل، اقدام به رتبه‌بندی سیل خیزی زیرحوضه‌ها با مدل مکانیابی فازی اشتراک<sup>۱۳</sup> شد.

(معادله ۸) فازی اشتراک  $\leftarrow \min\{\mu_A(X), \mu_B(X)\}$

از تلفیق نقشه‌های وزنی وضعیت پوشش گیاهی، جنس خاک، شیب دامنه‌ها، وضعیت شبکه آبراهه‌ها، ارتفاع و وجه شیب دامنه‌ها با ماهیت Class، نقشه وزنی تهیه و با در نظر گرفتن مجموع وزنها ۰/۵ و بیشتر در هر پیکسل، زیرحوضه‌ها رتبه‌بندی شدند(جدول ۱).

به منظور شناسایی نقاط ناامن و آسیب‌پذیر در برابر مخاطره سیل و اتخاذ استراتژی‌های مناسب جهت مقابله با آن، اقدام به تهیه نقشه پهن‌بندی خط سیل گیری روستا و بخش پایین رود زیرحوضه‌های بالای آن، با استفاده از مدل مکانیابی منطقه‌ی اشتراک شد. از تلفیق لایه‌های وزنی با ماهیت Class کواترنر، شیب دامنه‌ها، وضعیت شبکه آبراهه‌ها، ارتفاع، واحدهای ژئومورفولوژی و فاصله از مسیل‌ها، نقشه‌وزنی حاصل و سپس طبقه‌بندی شد. در این نقشه نقاط سیل گیر با طبقه وزنی بیشتر و رنگ قرمز مشخص شده‌اند. (نگاره ۸)



**نگاره ۸: نقشه پهن‌بندی سیل گیری روستای فرطان و بخش پایین رود زیرحوضه‌های بالای آن براساس مدل فازی اشتراک**

با توجه به اینکه در وضع موجود کلیه آبراهه‌های بالای روستای فرطان ضمن تلفیق، به سمت کanal فاقد ظرفیت عبور رواناب بارش‌های رگباری هدایت شده بودند (نگاره ۹)، در این مطالعه تا حد امکان از تلفیق آنها جلو گیری شد. بدین منظور منطقه سیل خیز به دو ناحیه تقسیم شد. در ناحیه یک، رواناب زیرحوضه‌های ۱، ۲، ۳ و ۴ توسط کanalی با مقطع مرکب<sup>۱۴</sup> جمع‌آوری و به پایین دست روستا هدایت شد. در ناحیه دو، رواناب زیرحوضه پنج به سمت مخزن پیشنهادی در منطقه هدایت و پس از پرشدن، آب مازاد توسط سازه سرریز مخزن به کanal پایین دست آن هدایت و از منطقه خارج می‌گردد (نگاره ۱۰). پس از تقسیم نقاط سیل خیز به دو ناحیه، راهکارهای لازم جهت کنترل سیل آنها به دو روش غیرسازه‌ای و سازه‌ای ارائه شد.

#### الف- روش‌های غیرسازه‌ای مدیریت سیلاب

با توجه به اینکه پوشش گیاهی باعث کاهش سرعت برخورد قطرات

و نفوذپذیری سازندها.

- **اقلیم شناسی:** در این بخش ضمن مطالعه عناصر آب و هوایی، تهیه نمودارهای اقلیمی و طبقه‌بندی آب و هوایی، در مبحث بارش میانگین بارش ماهانه، فصلی و سالانه، حداکثر بارش‌های ۲۴ ساعته منطقه با دوره‌های بازگشت مختلف و منحنی‌های شدت- مدت- فراوانی<sup>۱۵</sup> در دوره‌های بازگشت مختلف تهیه شد.

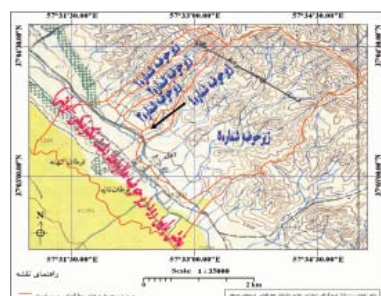
- **خاک و اجزاء واحدهای اراضی:** شامل رژیم رطوبتی و حرارتی خاک، منابع اراضی، بررسی خصوصیات فیزیکی و شیمیایی خاک‌ها و وضعیت بهره‌برداری از اراضی در حال حاضر.

- **ژئومورفولوژی:** در این بخش با انجام کارهای میدانی و تفسیر عکس‌های هوایی، نظام ناهمواری‌های محدوده مطالعه شامل اشکال عمده ژئومورفولوژی در واحدهای کوهستان، تپه‌ماهور و دشت و فرایندهای غالب ژئومورفولوژی از نقطه نظر فرسایش و عوامل مؤثر در آن مورد بررسی قرار گرفتند.

- **پوشش گیاهی و کاربری اراضی منطقه:** ابتدا با استفاده از روش «فاکتور شاخص مطلوب»(O.I.F)<sup>۱۶</sup> مناسب‌ترین ترکیب باندی به منظور ایجاد یک ترکیب رنگی کاذب و طبقه‌بندی رقومی، بدست آمد و با روش «طبقه‌بندی کننده جعبه‌ای»<sup>۱۷</sup>، طبقه‌بندی نظارت شده از پوشش-کاربری اراضی منطقه انجام شد. همچنین با استفاده از داده‌های رقومی باندۀ قرمز و مادون قرمز سنجنده ETM+ ماهواره لندست و استفاده از شاخص نرمال شده تفاوت پوشش گیاهی<sup>۱۸</sup> در نرم‌افزار Ilwís، تراکم پوشش گیاهی زیرحوضه‌ها مورد بررسی قرار گرفت. (علوی پناه، ۱۳۱۲)

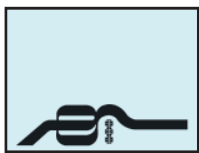
- **فیزیوگرافی و توپوگرافی:** با توجه به وضعیت توپوگرافی، به منظور مطالعه دقیق و ارائه روش‌های مناسب کنترل سیلاب، زیرحوضه‌ها به دو ناحیه تقسیم شدند. در ناحیه یک زیرحوضه‌های شماره ۱ و ۲ و ۳ و ۴ در ناحیه دو زیرحوضه شماره ۵ قرار گرفت. (نگاره ۷)

در بین فاکتورهای توپوگرافیک شیب متوسط، نسبت ناهمواری، سطوح ارتفاعی و روند ناهمواری و در بین فاکتورهای فیزیوگرافیک درجه تراکم شبکه آبراهه‌ها، نسبت انشعاب، ویژگی‌های هندسی شامل مساحت، محیط، طول آبراهه اصلی، شکل، زمان تمرکز و نیم‌رخ طولی و شیب آبراهه‌ها در زیرحوضه‌ها به دقت مورد بررسی قرار گرفتند.



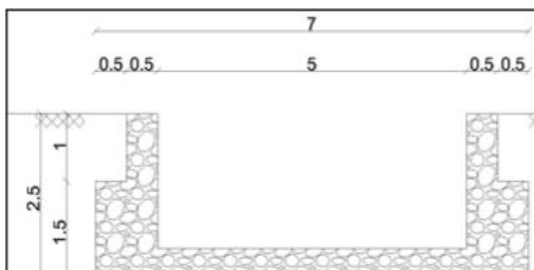
**نگاره ۷: موقعیت زیرحوضه‌های پنج گانه بالاتر از روستای فرطان**

**هیدرولوژی:** در این بخش به برآورد حجم بارش، حجم رواناب و دبی سیلاب زیرحوضه‌ها برای دوره‌های بازگشت ۲، ۵، ۱۰، ۲۵، ۵۰، ۱۰۰، ۵۰۰، ۱۵۰، ۲۵۰، ۱۰۰۵، ۲۵۰۰ ساله پرداخته شد. با توجه به فقدان ایستگاه هیدرومتری در زیرحوضه‌ها، به منظور برآورد حداکثر دبی لحظه‌ای سیلاب‌ها با دوره بازگشت مختلف



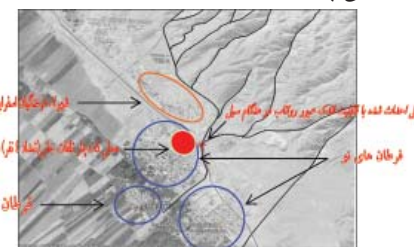
جدول ۱: رتبه‌بندی زیرحوضه‌ها نسبت به استعداد در برابر سیل خیزی براساس مدل فازی اشتراک

طبقات وزنی	زیرحوضه	ذیله زیرحوضه از نظر سیل خیزی												
		ذیله زیرحوضه از درصد	مجموع وزنی	ذیله زیرحوضه از ۵٪	۰/۹۵-۰/۹۹	۰/۷۵-۰/۸۵	۰/۷-۰/۸	۰/۷-۰/۸	۰/۶-۰/۷	۰/۶-۰/۷	۰/۴-۰/۵	۰/۲۵-۰/۳	۰/۰-۰/۲	۰/۰-۰/۲
۱	زیرحوضه ۱ (%)	۴۵/۶۷	.	۱/۹	.	۲۲/۸۴	.	۲۰/۹۳	۱۸/۵۱	.	۱۶/۲۶	۰/۶۹	۱۶/۲۶	۲/۶
۲	زیرحوضه ۲ (%)	۴۱/۱۴	.	۳/۱۳	۰/۱۳	۲۸/۵	۰/۱۳	۹/۲۵	۲۸/۶۳	.	۱۱/۳۸	۲/۱۳	۱۵/۵	۱/۲۵
۴	زیرحوضه ۳ (%)	۲۷/۸۷	۰/۱۲	۱/۶۷	.	۱۷/۹۴	۰/۸۴	۷/۳	۳۳/۳۷	۰/۱۲	۱۳/۲۸	۰/۹۶	۲۳/۲۱	۱/۲
۵	زیرحوضه ۴ (%)	.	.	.	.	.	.	.	۳۲/۲	.	۱۵/۶۱	۰/۴۹	۴۹/۲۷	۲/۴۴
۳	زیرحوضه ۵ (%)	۳۶/۹۹	۰/۰۱	۱/۶۶	۰/۵۳	۲۰/۶	۱/۱۹	۱۳	۲۰/۶۶	۰/۳۱	۱۳/۲۲	۳/۰۸	۲۳/۴۲	۲/۳۳

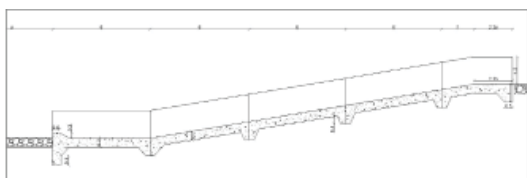


نگاره ۱۲: مقطع کanal انتقال از انتهای کanal مرکب تا پل اول و بعد از آن

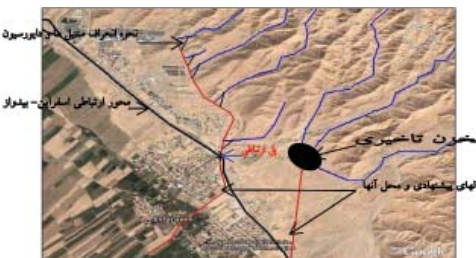
باران و افزایش نفوذپذیری رواناب می‌گردد، در این روش اقدامات بیولوژیکی نظری کاشت گونه‌های شورپسند<sup>۳۳</sup> و ممانعت از چرای دام‌ها در زیرحوضه‌های بالایی پیشنهاد شد.



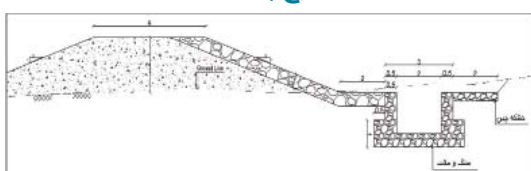
نگاره ۹: وضع موجود تلفیق آبراهه اصلی زیرحوضه‌ها که با رنگ مشکی مشخص شده است.



نگاره ۱۳: مقطع طولی کanal بتونی با شیب تند (شوت) ورودی به مخزن تأخیری

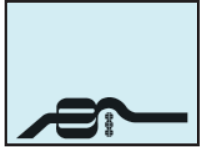


نگاره ۱۰: نحوه‌ی تلفیق آبراهه‌ها، انحراف آنها، مسیر و محل کanal‌ها در طرح پیشنهادی

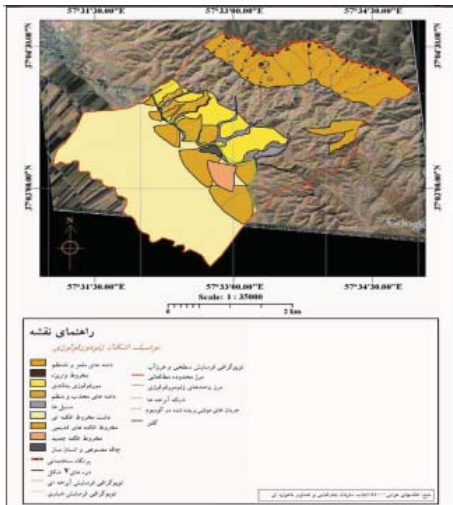


نگاره ۱۱: مقطع کanal مرکب ناحیه شماره یک با نگاه از جنوب به شمال. حدود ۱ متر ارتفاع آزاد برای عبور سیلابهای ۵۰۰ ساله در نظر گرفته شده است.

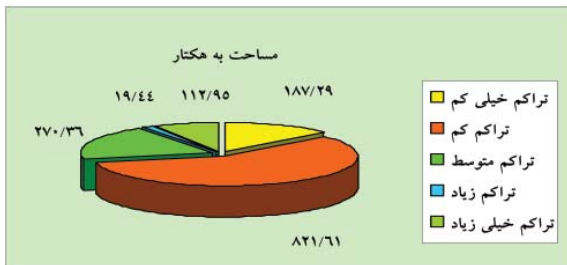
- ۱- اصلاح و بهسازی مسیر آبراهه‌ها
  - اصلاح و بهسازی مسیر آبراهه‌ها سبب کاهش تراز سیل و افزایش گذردهی مسیل‌ها می‌شود که با استناد به مبانی نظری ژئومورفولوژی در خصوص فرآیندهای آبراهه‌ای پیشنهادهای زیر ارائه شدند:
  - الف- پاکسازی مسیر آبراهه‌ها به ویژه خروجی آنها از عوامل و مواتع موجود در بستر و سیلابدشت اعم از پوشش‌های گیاهی، انباشته‌های رسوی و اصلاح ساختار هیدرولوژیکی سازه‌های متقاطع.
  - ب- حذف قوس‌ها و ایجاد راستای مناسب<sup>۲۵</sup> با حفاظت مسیر، به منظور افزایش ظرفیت انتقال مسیل‌ها.



است که با این روش جریان سیلاب در عرض معینی از آبراهه محدود شده و مانع از گسترش سیلاب بشدت می‌شود.



**نگاره ۱۵: نقشه ژئومورفولوژی و اشکال فرسایشی محدوده مطالعاتی**



**نگاره ۱۶: نمودار درصد مساحت هریک از طبقات شاخص تراکم پوشش گیاهی در منطقه**



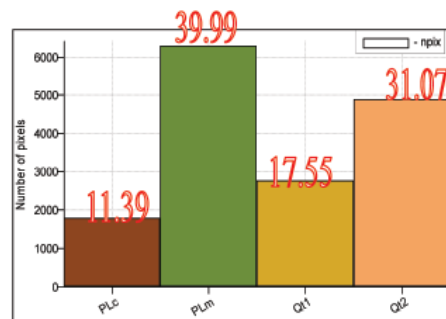
**نگاره ۱۷: نمایی از پل احتمالی روی کanal ناحیه یک که گنجایش عبور سیلاب با دوره بازگشت ۲ ساله در منطقه را نیز ندارد.**

با توجه به اینکه در زیرحوضه‌ها ایستگاه هیدرومتری وجود نداشت، به منظور برآورد سیلاب‌های حداکثر لحظه‌ای زیرحوضه‌ها و طراحی سازه‌هایی مانند سیل‌بندها، کانال‌ها و پل‌ها، از آمار ایستگاه هیدرومتری بیدواز<sup>۲۸</sup> در دوره

پ- ثبت و کنترل شاخصه‌های پرسوب جهت جلوگیری از تراکم رسوبات و کاهش توان انتقال رواناب در آنها.

ت- ثبیت کناره‌ها و شبیه‌های ناپایدار با روش‌هایی چون دیوارهای ساحلی طولی، پوشش حفاظتی ژئوتکستایل و پوشش سنگفرش

ث- ثبیت و حفاظت بستر با احداث شبکه‌کن به منظور افزایش ماندگاری، کاهش سرعت رواناب و جلوگیری از حفر و کاوش.



**نگاره ۱۴: نمودار ستونی مربوط به نقشه سنگ‌شناسی زیرحوضه‌های بالایی روستای فرطان به درصد**

#### ۲- ایجاد مخزن تأخیری

وضعیت توپوگرافی<sup>۲۹</sup> بخش پایین رود<sup>۳۰</sup> زیرحوضه شماره<sup>۵</sup>، ویژگی ژئومورفولوژیکی، وسعت زیاد، غیرزراعی و غیرمسکونی بودن و دبی زیاد مسیلهای منتهی به آن، زمینه را برای پیشنهاد مخزن تأخیری در آبراهه آن فراهم نمود. این مخزن ضمن کاهش سرعت رواناب و رسوبگذاری بارهای بستره و معلق، باعث نگهداری، نفوذ و کاهش دبی رواناب شده و زمان حرکت آن در پیرامون روستا را به تأخیر می‌اندازد. این مخزن به عنوان یک سطح اساس محلی محل تراکم رسوبات رواناب شده و به شرط برداشت کنترل شده، تأمین کننده بخشی از مصالح قرضه موردنیاز امور عمرانی می‌باشد. تراز فوقانی این مخزن منطبق با سطح توپوگرافی واحد ژئومورفولوژیکی مخزون‌افکنه پیشنهاد شد و از ایجاد خاکریز جهت پیشگیری‌های بعدی، جلوگیری گردید.

#### ۳- انحراف سیلاب

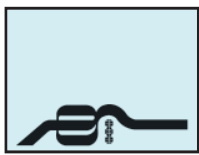
این روش از بهترین و اقتصادی‌ترین روش‌های مهار سیلاب بوده و سابقه آن به صدها سال پیش در کشور چین برمی‌گردد. با انحراف سیلاب، خطرهای ناشی از آن در سرتاسر بازه مورد نظر از آبراهه برطرف می‌گردد. در این راستا یکی از روش‌های پیشنهادی به شرح زیر می‌باشد:

#### - انحراف به مخزن تأخیری

به منظور هدایت رواناب، کاهش دبی و قدرت فرسایشی، آبراهه‌ی زیرحوضه واقع در شرق زیرحوضه شماره<sup>۵</sup>، به سمت مخزن تأخیری انحراف یافت.

#### ۴- احداث سیل‌بندها، کانال‌ها و تغییر در پل‌ها

ساخت سیل‌بند یکی از قدیمی‌ترین و رایج‌ترین روش‌های مهار سیلاب



در ناحیه یک بالاتر از جاده آسفالت، برای عبور دبی حداکثر سیلاب‌های با دوره بازگشت ۵ ساله، کanalی از جنس سنگ و ملات با عرض و ارتفاع ۲ متر پیشنهاد شد. برای عبور سیلاب‌های با دوره بازگشت ۵۰۰ ساله سیل بندی از مصالح معادن قرضه در جناح چپ کanal پیشنهادی طراحی شد. با این شرایط سیلاب‌های با دوره بازگشت بیش از ۵ تا حدود ۵۰۰ سال ابتدا مقطع اصلی کanal را پر کرده، سپس وارد سیلاب‌شتهای آن شده و به سمت پایین دست جریان می‌یابد. در ضمن جهت جلوگیری از فرسایش شبیب بدنه این سیل بند، حدود ۵۰ متر خشکه چین از جنس سنگ لاشه پیشنهاد گردید. (نگاره ۱۱)

در این ناحیه، جریان پس از عبور از کanal مرکب و ۵۰ متری قبل از جاده آسفالت اسفراین-بیدواز، توسط تبدیلی همگرا به کanalی با عرض ۵ و ارتفاع ۲ متر تغییر یافت. برای هدایت جریان از زیر جاده، پل موجود باید به عرض ۶ و ارتفاع ۲ متر تغییر یابد. جریان با عبور از زیر پل با استفاده از تبدیلی همگرا وارد کanal پایین دست به عرض ۵ و ارتفاع ۲ متر می‌شود (نگاره ۱۲). سپس سیلاب توسط این کanal به سمت پایین دست رosta هدایت، با عملیات پخش سیلاب، در تله‌ها افتاده و باقیمانده رواناب وارد کال شور در مرکز دشت تکتونیکی-آبرفنتی اسفراین می‌شود. در ناحیه دو ابتدا سیلاب ۵۰۰ ساله آبراهه‌های سه گانه زیر حوضه ۵ توسط کanal‌های خاکی به سمت مخزن تأخیری هدایت و جهت جلوگیری از کاوش بستر آنها، در ورودی جریان آنها به مخزن، کanal‌های بتني با شبیب حدود ۱ عمودی به ۴ افقی (شوت) و به عرض ۲/۵ متر پیشنهاد شد (نگاره ۱۳) جهت جلوگیری از فرسایش بستر و تخریب شوت، حوضچه آرامش معمولی به طول ۶ متر پیشنهاد شد.

در صورت پرشدن مخزن، جریان توسط سریزی از جنس سنگ و ملات با عرض ۵ متر و ارتفاع دیواره حدود ۲ متر، به سمت کanal خروجی با عرض ۵ و ارتفاع ۲ متر و شبیب حدود ۳ درصد، در یک راستای جنوب شرقی، به سمت آبنمای محور ارتباطی اسفراین-بیدواز هدایت و بعد از تله‌های نفوذی، وارد کال شور می‌شود.

## ۵- گایيون بندی

یکی از مشکلات عمدی در مسیل‌ها و کanal‌های بانیمرخ طولی شیدار، حفر و کاوش بستر آنها به واسطه تشکیل جریان‌های متلاطم است. به منظور رفع این مشکل احداث سازه‌های گاییونی پیشنهاد شد. این سازه‌ها در خروجی زیر حوضه‌ها (قبل از رسیدن رواناب به کanal‌های پیشنهادی) و در نقاط شیب دار کanal‌ها جهت کاهش سرعت و جلوگیری از تخریب بستر آنها پیشنهاد شد.

## یافته‌های تحقیق

مطالعات تفصیلی انجام گرفته روی عوامل مؤثر در وقوع سیلاب نشان می‌دهد، در سیل‌گیری رosta های فرطان عوامل زیادی مؤثر بوده‌اند که در قالب دو گروه عوامل طبیعی و انسانی به آنها اشاره می‌شود:

### الف) عوامل طبیعی

عوامل طبیعی جزء شرایط ذاتی و بنیادین در وقوع سیلاب هستند که تقریباً در حوضه‌های مختلف با اندک تغییراتی مشابه هم هستند و انسان در

آماری (۵۴-۵۵ الی ۸۱-۸۲) در مجاورت این زیر حوضه‌ها، استفاده شد.

بدین منظور ابتدا آمار ایستگاه با استفاده از برنامه کامپیوتری Hyfa آنالیز و توزیع مناسب داده‌ها بدست آمد که توزیع دو پارامتری گاما بهترین برآنش را بر داده‌های آماری داشت. پس از حصول اطمینان از داده‌ها، به منظور دستیابی به دبی حداکثر لحظه‌ای در دوره بازگشتهای مختلف از رابطه دیکن استفاده (معادله ۱۳) (جدول ۲)

$$Q_2 = Q_1 \left( \frac{A_1}{A_2} \right)^{1/2}$$

که در آن:  $Q_2$ =دبی حداکثر لحظه‌ای به دست آمده به  $m^3/s$  برای تعیین حريم در محل موردنظر،  $Q_1$ =دبی حداکثر لحظه‌ای سیل در محل ایستگاه هیدرومتری شاخص به  $A_1$ ,  $m^3/s$  مساحت حوضه دارای ایستگاه هیدرومتری به  $A_2$   $km^2$  و مساحت حوضه موردنظر (محل تعیین حريم) به  $Km^2$  می‌باشد.

جدول ۲: دبی حداکثر لحظه‌ای حوضه رودخانه بیدواز  
زیر حوضه‌های مطالعاتی با دوره بازگشتهای مختلف

دوره بازگشت (سال)	۵۰۰	۱۰۰	۵۰	۲۵	۱۰	۵	۲
ماکریم سیلاب حوضه بیدواز ( $m^3/s$ )	۳۴۳/۸۵	۲۵۴/۹۷	۲۱۷/۳۷	۱۸۰/۱۳	۱۳۱/۲۹	۹۴/۲۵	۴۴/۳
ماکریم سیلاب زیر حوضه ( $m^3/s$ )	۴۱/۳۳	۳۰/۶۵	۲۶/۱۳	۲۱/۶۵	۱۵/۷۸	۱۱/۳۴	۵/۳۲

پس از دستیابی به دبی حداکثر لحظه‌ای سیل با دوره بازگشتهای مختلف، به منظور برآورد و طراحی مقاطع سیل بندها و کanal‌های انتقال سیلاب، با توجه به کاربرد گستره و نتایج قابل قبول در ایران، از رابطه مانینگ استفاده شد:

$$Q = \frac{I}{n} \cdot A \cdot R^{2/3} \cdot S^{1/2} \quad (\text{معادله ۱۰})$$

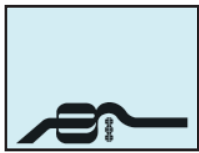
که در آن:  $Q$ =دبی سیلاب به  $m^3/s$  در مقطع موردنظر،  $A$ =سطح مقطع جریان به  $R, m^2$ =شعاع هیدرولیکی به  $m$  که مقدار آن از رابطه  $R=A/P$  به دست می‌آید،  $P$ =محیط خیس شده به  $(m)$ ,  $S$ =شیب کanal یا مسیر جریان و  $n$ =ضریب مانینگ یا ضریب زیری مسیر جریان است. پس از برآورد مقاطع و طراحی کanal‌ها، به منظور برآورد دبی جریان عبوری از کanal‌ها در سیلاب با دوره‌های بازگشت مختلف، نیاز به محاسبه سرعت جریان عبوری از آنها (V) بود که، از رابطه زیر به دست آمد:

$$V = K \frac{R^{2/3} \times S^{1/2}}{n} \quad (\text{معادله ۱۱})$$

در این رابطه  $K$  ضریب ثابتی است که، در سیستم متریک مقدار آن برابر یک می‌باشد. پس از محاسبه سرعت جریان (V)، به منظور برآورد دبی جریان عبوری (Q) از کanal‌ها، سیل بندها و مقاطع پل‌ها، با استفاده از رابطه زیر به دست آمد:

$$Q = W \cdot D \cdot V \quad (\text{معادله ۱۲})$$

که در آن:  $W$ =عرض کanal به متر و  $D$ =عمق کanal به متر می‌باشد.



اجرای تحقیق نشان داد که ژئومورفولوژی در علت شناسی سیلاب و ارائه راهکارها، بویژه روش‌های سازه‌ای کنترل سیلاب در مناطق روسایی از توانمندی زیادی برخوردار است. با روش بکار برده شده در این تحقیق می‌توان به راحتی در حوضه‌های فاقد ایستگاه هیدرومتری و با استفاده از روابط تجربی، دبی حداکثر لحظه‌ای در دوره‌های بازگشت‌های مختلف را تخمین و سازه‌ها را براساس آنها طراحی کرد.

مقایسه پهنه‌های دچار سیل های اخیر با نقشه‌ی تلفیقی حاصل از بکارگیری مدل مکانیابی فازی Product، بیانگر توانایی مدل در انواع مکانیابی بویژه مکانیابی پهنه‌های در معرض خطر و تهیه نقشه‌های خطر سیلاب است. بازخورد سیل های اخیر نشان داد که؛ روش‌های سازه‌ای کنترل سیلاب از توانایی زیادی در مهار کوتاه مدت سیل برخوردارند.

آنها نقشی ندارد. این عوامل در زیر حوضه‌های مطالعاتی عبارتند از:

- رژیم بارش رگباری با  $57/4$  میلی‌متر در حداکثر بارش‌های ۲۴ ساعته با دوره بازگشت ۵۰ ساله (جدول ۳)
- نفوذپذیری و حساسیت سازنده‌های سطح زیرحوضه‌ها که  $39/99$  درصد آنها از جنس مارن (Plm) بوده است (نگاره ۱۴).
- تراکم زهکشی در زیرحوضه‌ها که زیرحوضه ۲ در این بین با  $9/123$  ( $\text{Km}/\text{Km}^2$ ) پرترکم‌ترین بوده است (جدول ۴).
- تغییر فاز فرسایشی از کاوش و حمل به رسوبگذاری  $^{*9}$  در محل خط تغییر شبیب  $^{*10}$  بالادست روتا (نگاره ۱۵)
- فقر پوشش گیاهی در سطح زیرحوضه‌ها (نگاره ۱۶)
- شبیب دامنه‌ها که زیرحوضه شماره ۲ با  $32/72$  درصد دارای بیشترین شبیب متوسط بوده است.

### بحث و نتیجه‌گیری

محیط طبیعی در کل مجموعه‌ای معادل است و این دخالت‌های ناشی از فعالیت‌های نابخردانه انسانی است که سبب برهم خوردن تعادل آن و تشدید مخاطرات طبیعی از جمله سیل می‌شود. شدت زیاد، مدت کم بارش و فراوانی رگبارها با وجود فقر پوشش گیاهی، فرصت نفوذ را به تشکیلات ریزبافت تبخیری، رسی و مارنی منطقه نداده و شبیب تند دامنه و حساسیت این سازندها موجب تمرکز هرزآبهای اولیه، افزایش چگالی زیرحوضه و تشکیل هزار دره‌ها می‌شود. این شرایط سبب افزایش مقدار جریان آب، فرسایش شدیدتر و افزایش بار رسوبی و تراکم رسوبات در بخش شمالی روستا که در قسمت پایین رود زیرحوضه‌ها واقع شده است، خواهد شد.

مورفولوژی بدلتندی، مقطع ۷ شکل دره‌ها، شبیب تند و ویژگی شبکه‌های زهکشی در اغلب نقاط زیرحوضه‌ها نشان می‌دهد که زیرحوضه‌های مطالعاتی با استفاده از روش ارگودیکی  $^{*11}$  از نظر تحول تدریجی در مرحله‌ی طویل شدگی و جوانی قرار دارند و بتاریان وقوع سیلاب‌های خشن‌تر و فرسایش زیاد اجتناب ناپذیر بوده و در این خصوص اقدامات پیشگیرانه بسیار ضروری است. توسعه روستای فرطان در سالهای اخیر به قسمت پایین دست زیرحوضه‌ها سبب شده تا خصوصیات این قسمت از زیرحوضه‌ها یعنی حجم زیاد آبهای روان، سرعت کم و عمل به جای ماندن آبرفت‌ها در این بخش از روستا بروز پیدا کند. بتاریان نهادها و برنامه‌ریزان روستایی در تعیین سمت توسعه روستاهای باید به این مهم توجه داشته باشند.

از جمله فعالیت‌های غیرعلمی در منطقه، عمل تلفیق آبراهه‌های زیرحوضه‌های مطالعاتی و گذردهی حجم زیادی رواناب از یک کanal و مسیل بدون تغییر در عرض و عمق آن بود. حال آن که با افزایش مقدار آب در آبراهه باید عرض و عمق آن نیز افزایش یابد. با تلفیق آبراهه‌ها حجم و دبی رواناب عبوری به شدت افزایش یافته و چون عرض و عمق کanal ثابت مانده، قدرت انتقال رواناب به شدت کاهش می‌یابد. با این وجود امکان طغیان سیلاب و تهدید عوارض و سکونتگاههای انسانی حریم و پیرامون بستر این آبراهه‌ها افزایش پیدا می‌کند.

فرایندهای رودخانه‌ای تا حد زیادی به شکل آبراهه‌ها بستگی دارد و این ویژگی برای ژئومورفولوژیست‌ها از اهمیت خاصی برخوردار است. کanal

**جدول ۳: نتایج تحلیل فراوانی داده‌های حداکثر بارندگی ۲۴ ساعته**

#### زیرحوضه‌های مطالعاتی با دوره بازگشت‌های مختلف

دوره بازگشت (سال)	بدندگی (mm)	۱۰۰	۵۰۰	۲۰۰	۱۰۰	۵۰	۲۵	۲۰	۱۰	۵	۲
۶۴/۶	۶۳/۲	۶۱/۱	۵۹/۳	۵۷/۴	۵۵/۲	۵۴/۴	۵۱/۷	۴۷/۵	۴۲/۳		

**جدول ۴: درجه تراکم زهکشی موجود در زیرحوضه‌های مطالعاتی و پارمترهای هریک**

پارامترها	زیرحوضه ۵	زیرحوضه ۴	زیرحوضه ۳	زیرحوضه ۲	زیرحوضه ۱	زیرحوضه‌ها
تراکم زهکشی ( $\text{Km}/\text{Km}^2$ )	۷/۲۵	۷/۸۸	۷/۵۳	۹/۱۲	۸/۴۳	
شبیب متوسط (%)	۲۶/۰۲	۱۶/۴۳	۲۷/۴۶	۳۲/۷۲	۲۷/۰۱	

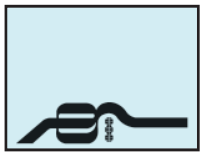
### ب) عوامل انسانی

بررسی انجام گرفته در منطقه نشان می‌دهد آنچه که سبب تشدید سیلاب و برهم خوردن تعادل محیط روستا شده، تغییرات انجام شده ناشی از برخی فعالیت‌های انسانی است که به آنها اشاره می‌شود:

- توسعه روستای فرطان به سمت پایین رود زیرحوضه‌های پنجگانه، حریم مسیل‌ها و سطوح محرکوط افکنه‌ای.
- دادن قوس‌های غیرضروری با زاویه حدود  $90^\circ$  درجه و شبیب صفر درصد به کanal موجود در بالادست روستا.
- تلفیق آبراهه‌ها و گذردهی رواناب آنها از کanalی با گنجایش محدود و بدون برآورد.

- نقص فنی در سازه‌های احداث شده نظیر کanal و پل موجود بدون توجه به بیشترین بارندگی محتمل (P.M.P. $^{*12}$ ) (نگاره ۱۷).

وقوع چندین سیلاب با ابعاد بزرگتر از سیلاب‌های قبل از مطالعه و



توپوگرافی ۱/۵۰۰۰۰ برگ استفاین.  
۱۳- ولایتی، سعدالله، ۱۳۷۴. جغرافیای آبها و مدیریت منابع آب(چاپ اول).  
انشارات خراسان. ص۵۲.

14- Bheshem, Ramlal, Serwan, M.J.Baban, 2008. Developing a GIS based integrated approach to flood management in Trinidad, West Indies. Environmental Management 88,1131-1140.

15- Chih-Chiang, Wei, Nein-Sheng, Hsu, 2008. Multireservoir real-time operations for flood control using balanced water level index method. Environmental Management 88,1624-1639.

16- Fi-John, Chang, Kai-Yao Chang, Li-Chiu, Chang, 2008. Counterpropagation Fuzzy-neural network for city flood control system. Hydrology 354,6-11.

### پی نوشت

- 1- Dicken
- 2- Manning
- 3- Probable maximum precipitation
- 4- Potential energy
- 5- Gravitational acceleration
- 6- Shearing resistance
- 7- Shearing stress
- 8- Wet perimeter
- 9- Yu- Cheng
- 10- Danshui
- 11- Keelung
- 12- Time of concentration
- 13- Kirpich
- 14- Bifurcation ratio
- 15- False Color Composite (FCC)
- 16- Global Positioning System (GPS)
- 17- Intensity-Duration-Frequency(I.D.F)
- 18- Optimum Index Factor (OIF)
- 19- Box Classifier
- 20- Normalized Difference Vegetation Index (NDVI)
- 21- Product fuzzy
- 22- شرح هر یک از روش‌های سازه‌ای کنترل سیالاب، پیرو این مبحث ارائه خواهد شد.
- 23- Halophite
- 24- کلیه اقدامات و پیشنهادهای سازه‌ای در این تحقیق، با اخذ استعلام و با مشخصات فنی بخش مهندسی رودخانه‌ها در شرکت آب منطقه‌ای خراسان شمالی انجام گرفته است.
- 25- Diversion
- 26- این محل به واسطه برخورداری از مواد و مصالح قرضه‌ای که در امور عمرانی استفاده شده بودند، به یک چاله مبدل شده بود.
- 27- Low stream
- 28- حوضه آبخیز بیدواز در شمال شرق زیرحوضه‌ها قرار دارد و آمار ایستگاه هیدرومتری آن تنها آمار قابل اطمینان برای طراحی سازه‌ها محسوب می‌شود.
- 29- آثار این تراکم و رسوبگذاری در بالادست روستا به صورت مخروط افکنه‌های متواالی نمایان است که در نگاره ۱۶ مشخص است.
- 30- Knick
- 31- Probable maximum precipitation
- 32- Ergodic

طراحی شده در بالادست روستا به دلیل برخورداری از شیب کم و قوس‌های غیرضروری (با زاویه حدود ۸۰ درجه)، از توانایی لازم برای انتقال سیالاب برخوردار نبود. با افزایش بار رسوبی، بر اندازه‌ی ذرات رسوبی موجود در آبراهه افزوده می‌شود. بنابراین حفظ شیب و راستای مناسب در طراحی و احداث کانال‌ها به منظور انتقال ذرات رسوبی بسیار ضروری به نظر می‌رسد. در طراحی کانال‌های احداث شده روستا بزرگترین بارندگی محتمل (P.M.P) در نظر گرفته نشده بود. حال آن که به منظور کاهش خطر طغیان طراحی سازه‌های هیدرولیکی باید با توجه به شرایط اقلیمی و توپوگرافی در یک بدون ذکر دوره برگشت و با توجه به شرایط اقلیمی و افزایش میزان پایداری منطقه انجام گیرد. جهت کاهش نسبی خطرات و افزایش میزان پایداری سکونتگاه‌های روستایی، هرگونه تغییری در اکوسیستم موجود، کاربری اراضی، تغییر هندسه آبراهه‌ها و احداث سازه‌ها باید با لحاظ کردن شرایط رئومورفولوژی حوضه‌ها و براساس مبانی نظری این رشته در خصوص فرایندهای آبراهه‌ای انجام گیرد. نتایج این تحقیق نشان داد که داشن رئومورفولوژی در بررسی علل سیل خیزی حوضه‌ها و ارائه راهکارهای مناسب مدیریت سیالاب، نظیر استفاده از روش‌های غیرسازه‌ای و سازه‌ای در مناطق روستایی از توانمندی زیادی برخوردار است.

### منابع و مأخذ

- ۱-آلشیخ، علی اصغر؛ محمد جعفر سلطانی، حسین هلالی، ۱۳۸۲. کاربرد GIS در مکانیابی عرصه‌های پخش سیالاب. مجله علوم کشاورزی و منابع طبیعی، سال دوازدهم، شماره سوم.
- ۲- معاونت عمرانی استانداری خراسان شمالی، ستاد بازسازی و حوادث غیرمنتقبه، ۱۳۸۶. گزارش خسارات سیل‌های اخیر خراسان شمالی، ص ۱۲.
- ۳- رفاهی، حسینقلی، ۱۳۷۵. فرسایش آبی و کنترل آن (چاپ اول). انتشارات دانشگاه تهران، (شابک-۸-۳۷۱۸-۹۴۶-۰۳).
- ۴- شرکت سهامی آب منطقه‌ای خراسان شمالی با همکاری شرکت مهندسین مشاور کاوش پی مشهد، ۱۳۸۶. جلد اول مطالعات تعیین حریم و بستر رودخانه بیدواز اسفراین (مطالعات هواشناسی و هیدرولوژی)، ص ۱.
- ۵- صداقت، محمود؛ حسین معماریان، ۱۳۸۱. زمین شناسی فیزیکی (جلد اول): فرآیندهای بیرونی) انتشارات دانشگاه پیام نور، (شابک-۰-۴۵۵-۸۲۰-۹۶۴).
- ۶- علوی پناه، سید کاظم، ۱۳۸۵. سنجش از دور حرارتی و کاربرد آن در علوم زمین(چاپ اول). انتشارات دانشگاه تهران، (شابک-۹-۹۶۴-۰۳-۵۳۶۳).
- ۷- غیور، حسنعلی، ۱۳۷۷. سیل و مناطق سیل خیز در ایران، فصلنامه تحقیقات جغرافیایی، مقاله شماره ۳:۵۴.
- ۸- کوک، آر.پو؛ جی.سی. دورکمپ، ۱۹۹۰. رئومورفولوژی و مدیریت محیط (جلد اول)، ترجمه شاپور گودرزی نژاد، ۱۳۷۷. انتشارات سمت، (شابک-۹-۹۶۴-۴۰۹-۲۷۵).
- ۹- اسمیت، کیت، ۱۹۹۶. مخاطرات محیطی، ترجمه ابراهیم مقیمی و شاپور گودرزی نژاد، ۱۳۸۲. انتشارات سمت، (شابک-۲-۹۶۴-۴۵۹-۷۱۹).
- ۱۰- محمودی، فرج‌اله، ۱۳۷۴. رئومورفولوژی دینامیک(چاپ دوم). انتشارات دانشگاه پیام نور، ص ۸۴.
- ۱۱- مقیمی، ابراهیم، ۱۳۸۵. رئومورفولوژی شهری(چاپ اول). انتشارات دانشگاه تهران، (شابک-۶-۵۳۱۱-۰۳-۹۶۴).
- ۱۲- وزارت دفاع و پشتیبانی نیروهای مسلح، سازمان جغرافیایی، نقشه